Matthias Reggentin

Neutronen

Neutronen Interferometrie

COW-

Experiment(e)

Neutronen Interferometrie COW-Experimente

Matthias Reggentin

Humboldt-Universität zu Berlin, Institut für Physik

21. Januar 2009

Matthia Reggenti

Materiewellen

. .

Neutronen

terferometrie

COW-

2 Neutronen

3 Neutronen Interferometrie

4 COW-Experiment(e)

Neutronen Interferometrie

Matthias

Materiewellen

• 1923, Louis-Victor de Broglie in Waves and Quanta: Verallgemeinerung des Teilchen-Welle-Dualismus von Photonen auf klassische Teilchen; Nature **112**, 540 (1923)

• Teilchen mit Impuls p de Broglie Wellenlänge zugeordnet

$$\lambda = \frac{h}{p} = \frac{h}{\sqrt{2m \cdot E_{kir}}}$$

Neutronen Interferometrie

Matthias Reggentin

Materiewellen

Neutronen

Neutronen Interferometrie

COVV-Experiment (e) 1923, Louis-Victor de Broglie in Waves and Quanta: Verallgemeinerung des Teilchen-Welle-Dualismus von Photonen auf klassische Teilchen; Nature 112, 540 (1923)

ullet Teilchen mit Impuls p de Broglie Wellenlänge zugeordnet

$$\lambda = \frac{h}{p} = \frac{h}{\sqrt{2m \cdot E_{kin}}}$$

Neutronen Interferometrie

> Matthias Reggentin

Materiewellen

Neutroner

Neutronen In terferometrie

cow

Experiment(e

 1927 von Clinton Davisson und Lester Germer durch Beugung von Elektronen an Nickel experimentell bestätigt; Nature 119, 558 - 560 (1927)

 Beobachtung gleicher Bragg-Reflexionsmuster bei Elektronen - und Röntgenstrahlung gleicher Wellenlänge

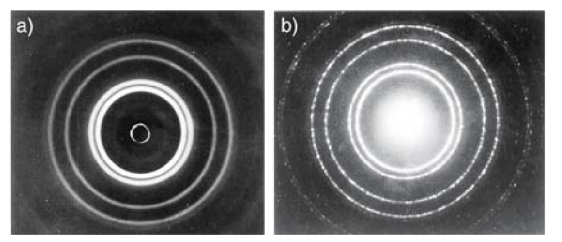


Abbildung: (a) Elektronen- (b) Röntgenbeugung, Experimental Physik 3, Springer, W. Demtröder

Neutronen Interferometrie

Matthias Reggentin

Materiewellen

Neutronen

Neutronen In terferometrie

COW-Experiment(e 1927 von Clinton Davisson und Lester Germer durch Beugung von Elektronen an Nickel experimentell bestätigt; Nature 119, 558 - 560 (1927)

 Beobachtung gleicher Bragg-Reflexionsmuster bei Elektronen - und Röntgenstrahlung gleicher Wellenlänge

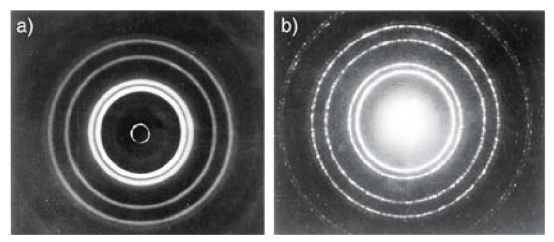


Abbildung: (a) Elektronen- (b)Röntgenbeugung, Experimental Physik 3, *Springer*, W. Demtröder

Neutronen

Neutronen Interferometrie

Matthias Reggentin

Materiewelle

Neutronen

Neutronen Interferometrie

cow-

Experiment(e)

- Ruhemasse $m_0 = 939.6 \text{ MeV}$
- Fermion Spin 1/2
- magnetisches Moment $\mu \simeq -9.662 \times 10^{-27} \text{ J/T}$
- Wellenlänge: thermische Neutronen: $\lambda \simeq 1.8$ Å Kalte Neutronen (VCN): $\lambda \simeq 10^2$ Å Neutron Interferometry, *Oxford University Press*, H. Rauch, S. Werner
- also elektromagnetische, schwache und starke Wechselwirkung sowie Gravitation

Neutronen

Neutronen Interferometrie

Matthias

Neutronen

• Ruhemasse $m_0 = 939.6$ MeV

• Fermion - Spin 1/2

• magnetisches Moment $\mu \simeq -9.662 \times 10^{-27} \text{ J/T}$

 Wellenlänge: thermische Neutronen: $\lambda \simeq 1.8 \text{ Å}$ Kalte Neutronen (VCN): $\lambda \simeq 10^2 \text{Å}$

Neutron Interferometry, Oxford University Press, H. Rauch, S. Werner

 also elektromagnetische, schwache und starke Wechselwirkung sowie Gravitation

Neutronen Interferometrie

Matthias Reggentin

Materiewelle

Moutronon

Neutronen Interferometrie

terferometrie

COW-Experiment(e)

• Messung von interferierenden Neutronenstrahlen

- Phasenverschiebung auf Grund der möglichen WW
- Probleme gegenüber Interferometrie mit Photonen:

geringe Geschwindigkeit thermischer Neutronen ($v \simeq 2200 \, \mathrm{m/s}$), Interferrometerlängen in der Größenordnung $\simeq 1 \, \mathrm{dm} \Rightarrow \mathrm{Passierdauer}$ im Vergleich zu Photonen um Faktor $\times 10^4$ erhöht

Neutronen Interferometrie

Matthias Reggentin

Materiewelle

Neutronen

Neutronen Interferometrie

COW-

Experiment(e)

- Messung von interferierenden Neutronenstrahlen
- Phasenverschiebung auf Grund der möglichen WW
- Probleme gegenüber Interferometrie mit Photonen:

geringe Geschwindigkeit thermischer Neutronen ($v \simeq 2200 \, \mathrm{m/s}$), Interferrometerlängen in der Größenordnung $\simeq 1 \, \mathrm{dm} \Rightarrow \mathrm{Passierdauer}$ im Vergleich zu Photonen um Faktor $\times 10^4$ erhöht

Neutronen Interferometrie

Matthias Reggentin

Materiewelle

Neutronen

Neutronen Interferometrie

COW-

Experiment(e)

- Messung von interferierenden Neutronenstrahlen
- Phasenverschiebung auf Grund der möglichen WW
- Probleme gegenüber Interferometrie mit Photonen:

geringe Geschwindigkeit thermischer Neutronen ($v \simeq 2200 \, \mathrm{m/s}$), Interferrometerlängen in der Größenordnung $\simeq 1 \, \mathrm{dm} \Rightarrow \mathrm{Passierdauer}$ im Vergleich zu Photonen um Faktor $\times 10^4$ erhöht

Neutronen Interferometrie

Matthias

Neutronen Interferometrie

- Messung von interferierenden Neutronenstrahlen
- Phasenverschiebung auf Grund der möglichen WW
- Probleme gegenüber Interferometrie mit Photonen:

geringe Geschwindigkeit thermischer Neutronen $(v \simeq 2200 \text{m/s})$, Interferrometerlängen in der Größenordnung $\simeq 1$ dm \Rightarrow Passierdauer im Vergleich zu Photonen um Faktor $\times 10^4$ erhöht

Neutronen Interferometrie

> Matthias Reggentin

.

Neutronen

Neutronen Interferometrie

COW-

Experiment (

• Anforderung an Abschirmung gegenüber der Umgebung

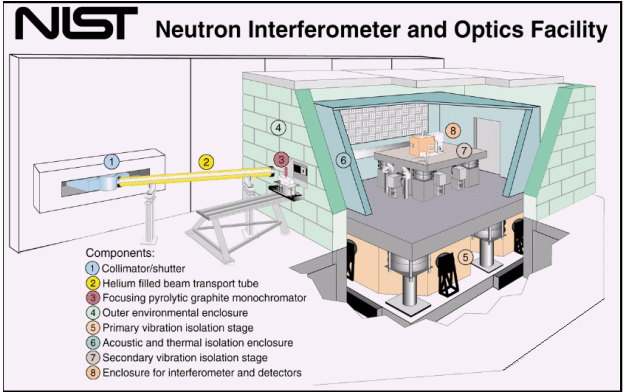


Abbildung: NIST Aufbau, Gaithersburg Maryland http://www.ncnr.nist.gov/instruments/

Neutronen Interferometrie

Matthias Reggentin

Materiowel

Neutrone

Neutronen Interferometrie

COW-

Experiment (

• Neutronenquelle Versuchsreaktoren



Abbildung: TIGRA Versuchsreaktor TU Wien

http://www.ati.ac.at/

Neutronen Interferometrie

Matthias Reggentin

Materiewell

Neutroner

Neutronen Interferometrie

COW-

Experiment(e

• Monochromator, Interferometer und Detektoren

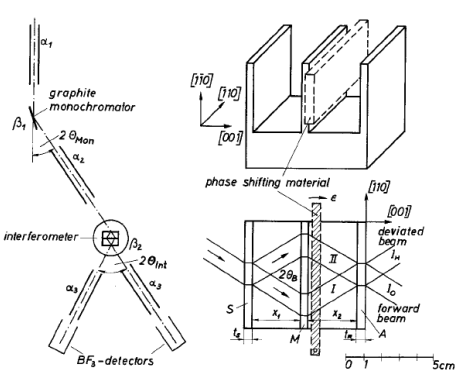


Abbildung: W. Bauspiess, U. Bonse, Z. Physik 271, 178

Neutronen Interferometrie

Matthias Reggentin

N 4 - A - - - 1 - - - - 1 | - -

iviaterieweiie

Neutronen

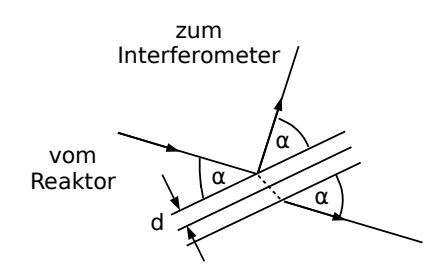
Neutronen Interferometrie

COW-

Experiment(e

• Monochromator: Kristall, Auswahl über Bragg-Bedingung

$$2d \cdot \sin(\alpha) = n \cdot \lambda$$
 , $n = 1, 2, 3, \dots$



Interferometer - Einkristallinterferometer

Neutronen Interferometrie

Matthias Reggentin

Materiewell

Neutroner

Neutronen Interferometrie

COW-

Experiment(e

- 1974 durch H. Rauch, W.Treimer und U. Bonse Silizium-Einkristallinterferometer getestet
- "The revolution was ... braught about by the wonderfully simple, didactically exquisite, and beautiful stable perfect silicon crystal interferometer....", Neutron Interferometry, Oxford University Press

 Vorteil: deutlich separierte Röntgen- bzw.
 Neutronenstrahlen



Abbildung: K. Littrell *et al.* Phys. Rev. **A 56**, 1767(1997)

Interferometer - Einkristallinterferometer

Neutronen Interferometrie

Matthias

Materiowelle

Neutroner

Neutronen Interferometrie

COW-

Experiment(e

- 1974 durch H. Rauch, W.Treimer und U. Bonse Silizium-Einkristallinterferometer getestet
- "The revolution was ... braught about by the wonderfully simple, didactically exquisite, and beautiful stable perfect silicon crystal interferometer....", Neutron Interferometry, Oxford University Press

 Vorteil: deutlich separierte Röntgen- bzw.
 Neutronenstrahlen



Abbildung: K. Littrell *et al.* Phys. Rev. **A 56**, 1767(1997)

Interferometer - Einkristallinterferometer

Neutronen Interferometrie

Matthias

Neutronen Interferometrie

- 1974 durch H. Rauch, W.Treimer und U. Bonse Silizium-Einkristallinterferometer getestet
- "The revolution was ... braught about by the wonderfully simple, didactically exquisite, and beautiful stable perfect silicon crystal interferometer....", Neutron Interferometry, Oxford University Press

 Vorteil: deutlich separierte Röntgen- bzw. Neutronenstrahlen



Abbildung: K. Littrell et al. Phys. Rev. **A 56**, 1767(1997)

Neutronen Interferometrie

> Matthias Reggentin

Materiewell

Neutronen

Neutronen Interferometrie

COW-

Experiment(e

- Typ: Mach-Zehnder Interferometer
- Strahlaufspaltung durch Beugung an Bragggittern
- Positionierung der Gitter mit der Genauigkeit des Gitterparameters g, da Einkristall

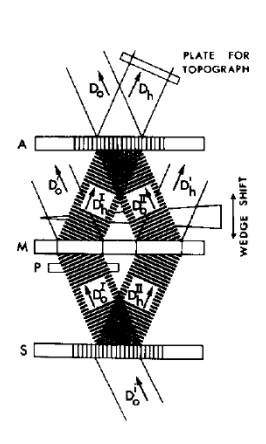


Abbildung: U. Bonse M. Hart, Appl. Phys. Lett. **6**, 155 (1965)

Neutronen Interferometrie

Matthias Reggentin

Materiewelle

Neutronen

Neutronen Interferometrie

COW-Experiment (Typ: Mach-Zehnder Interferometer

- Strahlaufspaltung durch Beugung an Bragggittern
- Positionierung der Gitter mit der Genauigkeit des Gitterparameters g, da Einkristall

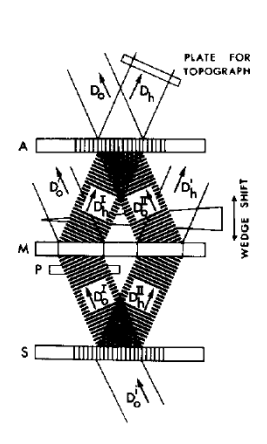


Abbildung: U. Bonse M. Hart, Appl. Phys. Lett. **6**, 155 (1965)

Neutronen Interferometrie

Matthias Reggentin

Materiewelle

Neutronen

Neutronen Interferometrie

COM

Experiment (e

- Ansatz für Wellenfunktion am Detektor $\psi_D = \psi_I + \psi_{II}$
- für 0-Beam $\psi_j \propto \psi_0 \exp\{i\chi_j\}$, j=I,II, χ_j : jeweilge Phase, Proportionalitätskonstante von Reflexion und Transmission abhängig, da gleichviele Reflexionen wie Transmissionen an den Gittern \to gleiche Phase und Amplitude
- bei Veränderung der optischen Weglänge Phasenunterschied $\Delta\chi=\chi_2-\chi_1$ und Intensität am Detektor von

$$I_0 = |\psi_I + \psi_{II}|^2 = \alpha (1 + \cos(\Delta \chi))$$

Neutronen Interferometrie

Matthias

Neutronen Interferometrie

- Ansatz für Wellenfunktion am Detektor $\psi_D = \psi_I + \psi_{II}$
- für 0-Beam $\psi_i \propto \psi_0 \exp\{i\chi_i\}$, j = I, II, χ_i : jeweilge Phase, Proportionalitätskonstante von Reflexion und Transmission abhängig, da gleichviele Reflexionen wie Transmissionen an den Gittern \rightarrow gleiche Phase und **Amplitude**
- bei Veränderung der optischen Weglänge

$$I_0 = |\psi_I + \psi_{II}|^2 = \alpha (1 + \cos(\Delta \chi))$$

Neutronen Interferometrie

Matthias Reggentin

Materiewelle

Neutronen

Neutronen Interferometrie

COW-Experiment(e ullet Ansatz für Wellenfunktion am Detektor $\psi_D=\psi_I+\psi_{II}$

- für 0-Beam $\psi_j \propto \psi_0 \exp\{i\chi_j\}$, j=I,II, χ_j : jeweilge Phase, Proportionalitätskonstante von Reflexion und Transmission abhängig, da gleichviele Reflexionen wie Transmissionen an den Gittern \to gleiche Phase und Amplitude
- bei Veränderung der optischen Weglänge Phasenunterschied $\Delta\chi=\chi_2-\chi_1$ und Intensität am Detektor von

$$I_0 = |\psi_I + \psi_{II}|^2 = \alpha(1 + \cos(\Delta \chi))$$

Neutronen Interferometrie

Matthias Reggentin

Materiewelle

Neutronen

Neutronen Interferometrie

COW-

Experiment(e

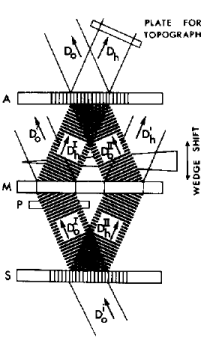
für den H-Beam:

 $I \rightarrow 2 \times \mathsf{Transmission},$ Reflexion:

 $II \rightarrow 3 \times$ Reflexion, daher zusätzliche Phasenverschiebung von π und ungleiche Amplituden

• für die Intensität am Detektor D_H

$$I_H = |\psi_I + \psi_{II}|^2 = \beta - \alpha \cos(\Delta \chi)$$



Neutronen Interferometrie

Matthias Reggentin

Materiewelle

Neutronen

Neutronen Interferometrie

COW-

Experiment(e

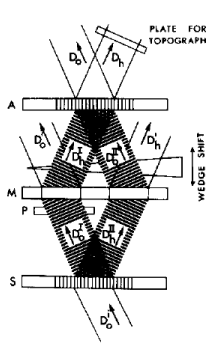
für den H-Beam:

 $I \rightarrow 2 \times \text{Transmission},$ Reflexion:

 $II \rightarrow 3 \times \text{Reflexion}$, daher zusätzliche Phasenverschiebung von π und ungleiche Amplituden

• für die Intensität am Detektor D_H

$$I_H = |\psi_I + \psi_{II}|^2 = \beta - \alpha \cos(\Delta \chi)$$



Neutronen Interferometrie

Matthias Reggentin

Materiewelle

Neutronen

Neutronen Interferometrie

COW-Experiment(e) Nachweis gravitationsbedingter Phasenverschiebung von Neutronen-Materiewellen

- Reihe von Experimente benannt nach Robert Colella, Albert Overhauser, Samuel Werner
- erstes derartiges Experiment 1975 durchgeführt;
 veröffentlicht in Phys. Rev. Lett. 23, 1472 (1975)
- Startpunkt darauf aufbauender Experimente (Abweichungen zur Thoerie bis heute nicht vollständig verstanden)

Neutronen Interferometrie

Matthias Reggentin

Makaula...alla

Neutronen

Neutronen In-

COW-

Experiment(e)

Aufbau

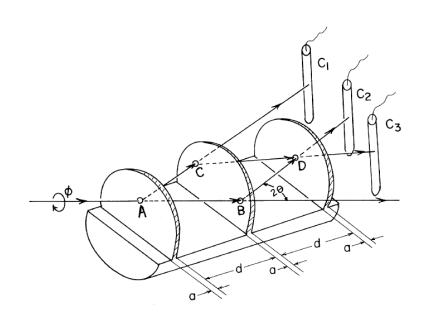


Abbildung: Colella et al., Phys. Rev. Lett. 23, 1247 (1975)

• für den Phasenunterschied bei Rotation in Näherung

$$\Delta \chi = -\frac{4\pi \lambda g m^2 d^2 \tan \theta}{h^2} \cdot \sin \phi$$

Neutronen Interferometrie

Matthias Reggentin

Materiewelle

Neutronen

Neutronen Interferometrie

COW-

Experiment(e)

Aufbau

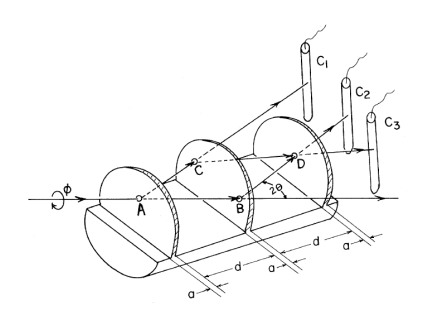


Abbildung: Colella et al., Phys. Rev. Lett. 23, 1247 (1975)

• für den Phasenunterschied bei Rotation in Näherung

$$\Delta \chi = -\frac{4\pi \lambda g m^2 d^2 \tan \theta}{h^2} \cdot \sin \phi$$

Neutronen Interferometrie

Matthias Reggentin

. .

Neutrone

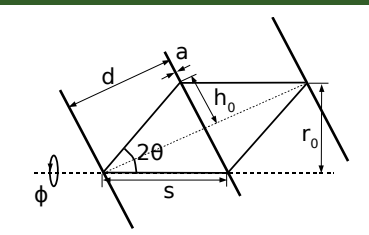
Neutronen In

COW-

Experiment(e)

Phasenunterschied

$$\Delta\chi=s\Delta k,\,s$$
 der Wegunterschied in unterschiedlicher Höhe



• zu Δk : E Gesamtenergie des Systems (m: Neutronenmasse, g: Fallbeschleunigung, ϕ : Rotationswinkel, $r(\phi)$ Höhe des Neutronenstrahls):

$$E = \frac{p^2}{2m} = \frac{\hbar^2 k_0^2}{2m} = \frac{\hbar^2 k^2}{2m} + mgr(\phi)$$
$$gr(\phi) = -\frac{\hbar^2}{2m} \left(k^2 - k_0^2\right)$$

Neutronen Interferometrie

Matthias Reggentin

. . .

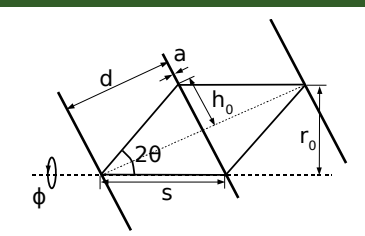
Neutroner

Neutronen In

terferometrie

COW-Experiment(e) Phasenunterschied

$$\Delta\chi = s\Delta k$$
, s der Wegunterschied in unterschiedlicher Höhe



• zu Δk : E Gesamtenergie des Systems (m: Neutronenmasse, g: Fallbeschleunigung, ϕ : Rotationswinkel, $r(\phi)$ Höhe des Neutronenstrahls):

$$\begin{split} E &=& \frac{p^2}{2m} = \frac{\hbar^2 k_0^2}{2m} = \frac{\hbar^2 k^2}{2m} + mgr(\phi) \\ \Leftrightarrow &mgr(\phi) &=& -\frac{\hbar^2}{2m} \left(k^2 - k_0^2\right) \end{split}$$

Neutronen Interferometrie

Matthias

COW-Experiment(e)

• wenn kinetische Energie bei 20 meV, $mg \simeq 1.03$ neV/cm und maximaler Höehenunterschied ca. 5 cm

$$mgr(\phi) \ll \frac{\hbar^2 k^2}{2m}$$

$$\Rightarrow k^2 - k_0^2 \simeq 2k_0(k - k_0) = 2k_0 \Delta k$$

$$\Delta k = -\frac{m^2 gr(\phi)}{\hbar^2 k_0} = -\frac{2\pi \lambda m^2 gr(\phi)}{h^2}$$

Rotation der Apparatur:

$$r(\phi) = r_0 \cdot \sin \phi$$

Neutronen Interferometrie

Matthias Reggentin

.

Neutroner

Neutronen Interferometrie

COW-Experiment(e) • wenn kinetische Energie bei $20~{\rm meV},~mg \simeq 1.03~{\rm neV/cm}$ und maximaler Höehenunterschied ca. $5~{\rm cm}$

$$mgr(\phi) \ll \frac{\hbar^2 k^2}{2m}$$

$$\Rightarrow k^2 - k_0^2 \simeq 2k_0(k - k_0) = 2k_0 \Delta k$$

$$\Delta k = -\frac{m^2 gr(\phi)}{\hbar^2 k_0} = -\frac{2\pi \lambda m^2 gr(\phi)}{h^2}$$

• Rotation der Apparatur:

$$r(\phi) = r_0 \cdot \sin \phi$$

Neutronen Interferometrie

Matthias Reggentin

Materiewell

Neutronen

Neutronen In

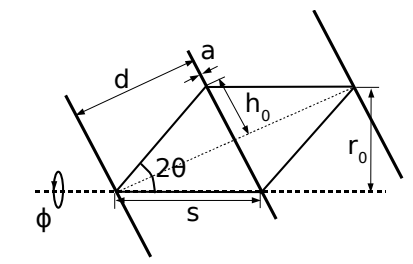
terferometrie

COW-Experiment(e) • bis jetzt:

$$\Delta \chi = -\frac{2\pi \lambda g m^2}{h^2} \cdot s r_0 \sin \phi$$

unter Vernachlässigung der Plattendicke:

$$s \cdot r_0 = 2d \cdot h_0 = 2d^2 \tan \theta$$



Neutronen Interferometrie

Matthias Reggentin

Materiewelle

Neutronen

Neutronen In-

terferometrie

COW-Experiment(e) • einerseits:

$$\Delta \chi = -\frac{4\pi \lambda g m^2 d^2 \tan \theta}{h^2} \cdot \sin \phi := -q_{grav} \cdot \sin \phi$$

an den Detektoren

$$I(\Delta \chi) = I_H - I_0 = \beta - \alpha - 2\alpha \cos(-q_{grav} \cdot \sin \phi)$$

COW-Experiment(e) Ergebnisse

Neutronen Interferometrie

Matthias Reggentin

. .

Neutronen

Neutronen Interferometrie

COW-

Experiment(e)

Messung $I(\Delta \chi) = I_H - I_0$

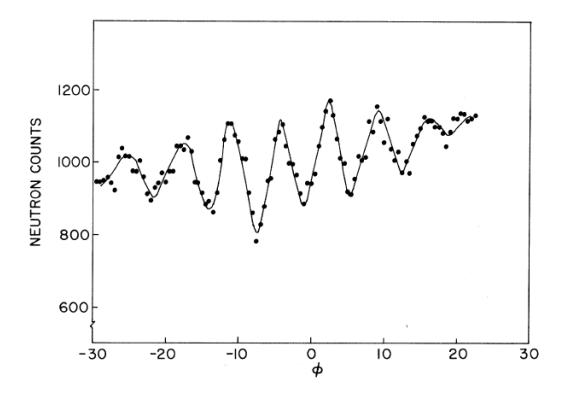


Abbildung: Colella et al., Phys. Rev. Lett. 23, 1247 (1975)

Neutronen Interferometrie Matthias

iviaterieweile

Neutronen

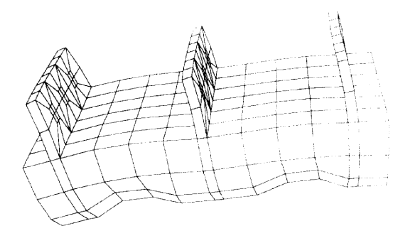
terferometrie

COW-

Experiment(e)

• Amplituden stimmen nicht mit der Theorie überein

- Bestimmung von q_{grav} über Fouriertransformation der Daten
- erwartet $q_{grav} = 59.6$ aber gemessen 54.3
- Vermutung Δq entspricht der Verformung des Interferometers



Neutronen Interferometrie

Matthias Reggentin

iviaterieweiie

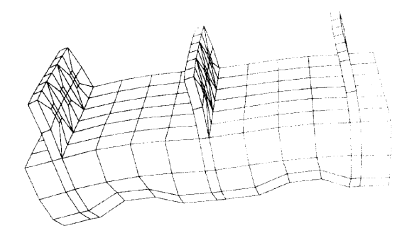
Neutroner

Neutronen In terferometrie

COW-

Experiment(e)

- Amplituden stimmen nicht mit der Theorie überein
- \bullet Bestimmung von q_{grav} über Fouriertransformation der Daten
- erwartet $q_{grav} = 59.6$ aber gemessen 54.3
- Vermutung Δq entspricht der Verformung des Interferometers



Neutronen Interferometrie

Matthias Reggentin

Matchicwelle

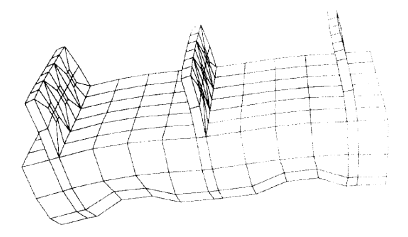
Neutroner

Neutronen Interferometrie

COW-

Experiment(e)

- Amplituden stimmen nicht mit der Theorie überein
- \bullet Bestimmung von q_{grav} über Fouriertransformation der Daten
- erwartet $q_{grav} = 59.6$ aber gemessen 54.3
- Vermutung Δq entspricht der Verformung des Interferometers



Neutronen Interferometrie

Matthias Reggentin

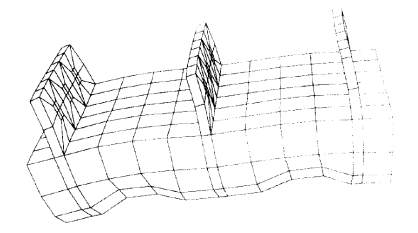
iviate i e welle

Neutronei

Neutronen In terferometrie

COW-Experiment(e)

- Amplituden stimmen nicht mit der Theorie überein
- \bullet Bestimmung von q_{grav} über Fouriertransformation der Daten
- erwartet $q_{grav} = 59.6$ aber gemessen 54.3
- Vermutung Δq entspricht der Verformung des Interferometers



Neutronen Interferometrie

Matthias

COW-

Experiment(e)

- Δq über Vergleich mit interferierenden Röntgenstrahlen
- im Orginalartikel Hoffnung q_{qrav} auf 1% genau zu messen
- Hoffnung durch U. Bonse and T. Wroblewski (Phys. Rev.

Neutronen Interferometrie

Matthias Reggentin

Materiewelle

Neutronen

Neutronen Interferometrie

COW-Experiment(e) • Δq über Vergleich mit interferierenden Röntgenstrahlen

- \bullet im Orginalartikel Hoffnung q_{grav} auf 1% genau zu messen
- Hoffnung durch U. Bonse and T. Wroblewski (Phys. Rev. D 30, 1214(1984)) jäh zerstört:

Dynamische Beugung: Neutronen bei WW am perfekten Kristall zusätzliche Phasenverschiebung und systematischer Fehler von -4%

Neutronen Interferometrie Matthias

Materiowelle

Neutronen

Neutronen Interferometrie

COW-Experiment(e) aufbauende Experimente: bessere Aufhängungen, Berücksichtigung Erdrotation, unterschiedliches Verhalten von Photonen und Neutronen bei WW am Interferometer, Mehrstrahlinterferometer

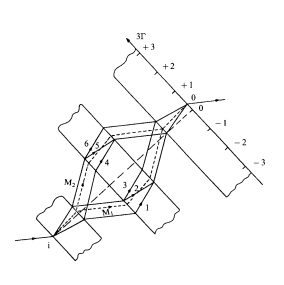


Abbildung: M.A. Horne Physica **137A**, 260(1986)

- letztes in der Reihe von K. Littrell et al. (1997)
 - ightarrow Bestimmung von q_{grav} mit Abweichung von -1% Abweichung bis heute nicht verstanden

Neutronen Interferometrie

Matthias Reggentin

Materiewelle

Neutronen

Neutronen Interferometrie

COW-Experiment(e)

- mit kalten Neutronen Möglichkeit Gitterinterferometer zu verwenden
- Übereinstimmung von Experiment und Theorie (G. van der Zouw et al. Nucl. Instr. and Meth. A 440, 568 (2000))
- \bullet Problem Auflösung der Wellenlänge führt zu Unsicherheit von 1%
- bis heute nicht zufriedendstellend geklärt,
 Präzisionsmessungen dann mit Atominterferometrie

Neutronen Interferometrie

Matthias Reggentin

Materiewelle

Neutronen

Neutronen Interferometrie

COW-Experiment(e) Abweichungen vermutlich durch Einkristallinterferometer
 ⇒ Überprüfen durch anderen Aufbau

- mit kalten Neutronen Möglichkeit Gitterinterferometer zu verwenden
- Übereinstimmung von Experiment und Theorie (G. van der Zouw et al. Nucl. Instr. and Meth. A 440, 568 (2000))
- \bullet Problem Auflösung der Wellenlänge führt zu Unsicherheit von 1%
- bis heute nicht zufriedendstellend geklärt,
 Präzisionsmessungen dann mit Atominterferometrie

Neutronen Interferometrie

Matthias Reggentin

Materiewelle

Neutronen

Neutronen Interferometrie

COW-Experiment(e)

- Abweichungen vermutlich durch Einkristallinterferometer
 ⇒ Überprüfen durch anderen Aufbau
- mit kalten Neutronen Möglichkeit Gitterinterferometer zu verwenden
- Übereinstimmung von Experiment und Theorie (G. van der Zouw et al. Nucl. Instr. and Meth. A 440, 568 (2000))
- \bullet Problem Auflösung der Wellenlänge führt zu Unsicherheit von 1%
- bis heute nicht zufriedendstellend geklärt,
 Präzisionsmessungen dann mit Atominterferometrie

Neutronen Interferometrie

Matthias Reggentin

Materiewelle

Neutronen

Neutronen Interferometrie

COW-Experiment(e)

- Abweichungen vermutlich durch Einkristallinterferometer
 ⇒ Überprüfen durch anderen Aufbau
- mit kalten Neutronen Möglichkeit Gitterinterferometer zu verwenden
- Übereinstimmung von Experiment und Theorie (G. van der Zouw et al. Nucl. Instr. and Meth. A 440, 568 (2000))
- \bullet Problem Auflösung der Wellenlänge führt zu Unsicherheit von 1%
- bis heute nicht zufriedendstellend geklärt,
 Präzisionsmessungen dann mit Atominterferometrie

Neutronen Interferometrie

Matthias Reggentin

Materiewelle

Neutroner

Neutronen In terferometrie

COW-Experiment(e)

Vielen Dank für die Aufmerksamkeit

